

# کاربرد آنالیز احتمال *Markov-Chain* و مدل تانک‌های همزده سری در مدلسازی ریاضی جذب فیزیکی غیرهمدمای گاز $CO_2$ در یک جذب‌کننده دارای جریان‌های برخوردي محوري

اميرحسين هرندي زاده<sup>۱</sup>، امير رحيمى<sup>۲\*</sup>، محمدرضا احسانى<sup>۳</sup>

۱. کارشناس ارشد مهندسی شيمي، دانشگاه اصفهان

۲. دانشيار مهندسي شيمي، دانشگاه مهندسي، دانشگاه اصفهان، (Rahimi@eng.ui.ac.ir)

۳- دانشيار مهندسي شيمي، دانشگاه مهندسي، دانشگاه صنعتي اصفهان

## پکيده

## مشخصات مقاله

تاریخچه مقاله :

دریافت ۳۰ خرداد ۱۳۸۸

دریافت پس از اصلاحات ۱ دی ۱۳۸۹

پذيرش نهايی ۱۵ دی ۱۳۸۹

## كلمات کلیدی :

جریان‌های برخوردي

جذب گاز

آنالیز مارکو-چین

تانک‌های همزده سری

مدلسازی رياضي

باگذشت بيش از نيم قرن از تبيين و بسط تئوري و کاربرد راكتورهای دارای جریان‌های برخوردي، تاکنون تلاش‌های بسيار محدودی در زمينه مدلسازی عملکرد جذب‌کننده دارای جریان‌های برخوردي صورت پذيرفته است. در اين مطالعه فرایند جذب فیزیکی غيرهمدمای گاز  $CO_2$  در آب با استفاده از جذب‌کننده دارای جریان‌های برخوردي محوري بر اساس مدل احتمال مارکو - چين<sup>۱</sup> و مدل تانک‌های همزده سری مورد مدلسازی رياضي قرار گرفته است. پaramترهای مورد نياز در بسط هر مدل با استفاده ازتوزيع زمان ماند تجربی قطرات درون سیستم، تعیین و معادلات حاكم به روش عددی حل گردیده است. مقایسه نتایج به دست آمده با داده‌های تجربی گزارش شده مبین دقت مدل‌ها در پیش‌بینی عملکرد این سیستم می‌باشد. همچنین تاثير پaramترهای عملیاتی شامل سرعت گاز ورودی، دمای گاز ورودی و اندازه قطرات، بر سرعت جذب تعیین شده است. نتایج اين مطالعه نشان مي‌دهد راندمان اين جذب‌کننده در مقایسه با سایر جذب‌کننده‌های متداول بسيار بيشتر مي‌باشد.

\* عهده دار مکاتبات

حقوق ناشر محفوظ است.

<sup>1</sup> Markov-Chain

## ۱- مقدمه

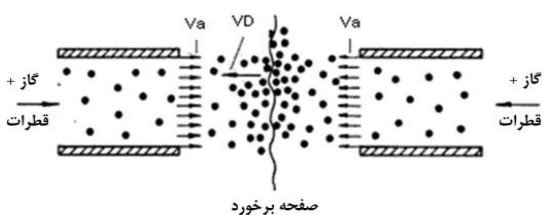
جذب یکی از فرایندهای مهم عملیات واحد است که در شیمی، پتروشیمی و صنایع فرایندی دیگر قابل به کارگیری است.

از اهداف مورد تعقیب محققین در طراحی واحدهای جذب گاز، خصوصاً جذب‌های همراه با واکنش که در آنها عمدۀ مقاومت در مسیر انتقال جرم مقاومت نفوذ در فاز گاز است، طراحی واحدهای عملیاتی است که در آنها افزایش سرعت نسبی بین دو فاز و سطح تماس میسر گردد. بدیهی است واحدهای عملیاتی متداول فعلی نظیر برج‌های پرشده یا پاششی به دلیل برخی محدودیت‌های ساختاری و عملیاتی امکان حصول چنین خواسته‌هایی را ممکن نمی‌سازند. با عنایت به این دیدگاه و توسعه تئوری و کاربرد راکتورهای با جریان‌های برخوردي<sup>۱</sup> به نظر می‌رسد که امکان حصول خواسته پیش گفته در عملیات جذب نیز میسر خواهد شد. اصول راکتورهای با جریان‌های برخوردي در اوایل دهه ۶۰ به منظور بکارگیری در فرایندهای انتقال توسط الپرین<sup>۲</sup> مورد بررسی قرار گرفت [۱]. با توجه به ویژگی‌های راکتورهای با جریان‌های برخوردي، این روش برای جذب گازها در مایعات توسط گیس<sup>۳</sup>، و گلف<sup>۴</sup>، پنیکارو<sup>۵</sup> و تامیر<sup>۶</sup> به کار برده شده و مشخصات رفتاری این سیستم‌ها شامل تقویت شدت جذب، نوع رژیم جریان و شرایط عملیاتی بهینه بررسی شد [۲,۳,۴,۵,۶].

تحقیقات روی جذب با جریان‌های برخوردي در اوایل دهه ۱۹۸۰ و به صورت عمدۀ در اسراییل مرکز و آغاز شد. تا سال ۱۹۹۰ روی اساس و تئوری این سیستم‌ها به خصوص روی آنالیز و تایید افزایش شدت انتقال با جریان‌های برخوردي نسبت به سایر سیستم‌های مرسموم، مطالعات آزمایشی صورت گرفت. تعداد کمی از محققین بررسی‌های جزئی روی امکان سنجه‌یا کاربردی شدن جریان‌های برخوردي در فرایندهای مربوطه را انجام دادند و به طور عمدۀ نتایج به دست

آمده نمی‌تواند به عنوان یک اساس برای پیشرفت‌های آتی به کار رود. هر چند تعدادی از این تحقیقات زمینه‌های ابتدایی برای تحقیقات اخیر و آتی را فراهم نموده‌اند.

در تکنیک جریان‌های برخوردي جهت عملیات جذب دو یا چند جریان گازی شامل قطرات مایع در مسیرهای متقابل به سمت هم جریان یافته و در ناحیه برخورد و مطابق شکل (۱)، با یکدیگر برخورد می‌نمایند. قطرات با توجه به اینرسی خود در جریان مقابل نفوذ کرده و سرعت آنها تا رسیدن به ایستایی کامل روند نزولی خواهد داشت که این امر ناشی از اعمال نیروی دراگ گاز در خلاف جهت حرکت قطرات است. سپس قطرات در جهت حرکت جریان گاز شتاب گرفته و در جریان اصلی نفوذ می‌کنند و از مسیر جریان و محفظه برخورد خارج می‌شوند. به دلیل حرکت سریع و ناپایای قطرات در محفظه برخورد، زمان ماند متوسط آنها در محفظه به طور قابل ملاحظه‌ای بالا می‌رود و برخوردهای میان قطرات نیز افزایش می‌یابد که در نتیجه فرایندهای انتقال جرم و انتقال حرارت بین جریان گاز و قطرات شدت می‌گیرد. بنابراین سیستم حاوی جریان‌های برخوردي فرایند جذب را بسیار تشدید می‌کند در حالی که عملیات جذب در زمان کوتاهتری صورت می‌گیرد. راندمان بالا، کیفیت مناسب محصول و مصرف کم انرژی از مزیت‌های استفاده از راکتورهای دارای جریان‌های برخوردي به شمار می‌آیند و پیش‌بینی می‌شود استفاده از راکتورهای دارای جریان‌های برخوردي در فرایند جذب کاربردهای صنعتی بسیاری در دنیای مهندسی داشته باشد [۷].



شکل (۱): اساس جریان‌های برخوردي محوري

مشخصه جذب‌کننده‌ی با جریان‌های برخوردي این است که بخش اصلی فرایندهای انتقال جرم و حرارت در ناحیه برخورد دو فاز شامل قطرات صورت می‌گیرد. به

<sup>۱</sup> Impinging Streams Reactors (ISR<sub>S</sub>)

<sup>۲</sup> Elperin

<sup>۳</sup> Gaddis

<sup>۴</sup> Vogelohl

<sup>۵</sup> Ponikarov

<sup>۶</sup> Tamir

برخوردي از جمله مواردي است که کمک شاياني به ارائه مدل‌های رياضي مناسب در اين خصوص خواهد نمود.

از جمله مدل‌های پيشنهاد شده در اين زمينه استفاده از مدل تانک‌های همزده سری به منظور پيش‌بیني رفتار گاز-مايع در فضای برخوردي است. بدین ترتيب فضای غيرايده‌ال برخورد جريان‌های مختلف در قالب تعداد مشخصی مخزن با اختلاط كامل مورد بررسی و تحليل قرار می‌گيرد.

آنالیز مارکو-چین يك تابع احتمال است که در مطالعه سیستم‌های فیزیکی پیچیده همچون سیستم‌های دارای جريان‌های برخوردي می‌تواند مورد استفاده قرار گيرد. توزيع زمان ماند خروجي به ازاء يك ورودي ضرباني يا پلهای ايده‌ال با توجه به آرایش جايگزيني مدل برای سیستم تحت بررسی می‌تواند پيش‌بیني شود و کمک شاياني در شناخت رفتار هيدروديناميكي سیستم می‌نماید[۷].

با عنایت به موارد پيش‌گفته هدف از این مطالعه مدلسازی رياضي عملکرد جذب‌کننده‌های دارای جريان‌های برخوردي محوري بر اساس قوانين بقاي جرم و حرارت و خصوصيات فیزیکی اين سیستمها است. در اين راستا سعي گرديده است تا به کمک مدل تانک‌های همزده سری و انجام مستقل آنالیز مارکو-چین و تعين پaramترهای مرتبط بر اساس داده‌های تجربی موجود مربوط به توزيع زمان ماند، نتایج مدل‌های پيشنهادی مورد تجزие، تحليل و بررسی قرار گرفته و در صورت نياز اصلاحات لازم بر روی مدل‌ها صورت گيرد.

## ۲- مدلسازی رياضي

در شكل (۲) شماتيك جذب‌کننده دارای جريان‌های برخوردي مورد مطالعه ترسیم شده است. در اين سیستم، فاز مايع و گاز از طریق نازل‌های پاششی غیرمخلط‌کننده (اختلاط دو فاز بعد از خروج از نازل) به سیستم وارد شده و در فضای برخورد با همديگر

استناد خواص هيدروديناميكي منحصر به فرد اين سیستم‌ها، برخی مشخصه‌ها در مقایسه با جذب‌کننده‌های رايچ شدیدتر به نظر می‌رسند. از آن جمله می‌توان به موارد زير اشاره کرد: حرکت نوسانی قطرات مايع، تلاطم شدید در ناحيه برخورد، افزایش ضرایب انتقال حرارت و جرم، افت شدید ممتومن و فشار در ناحيه برخورد.

راكتورهای دارای جريان‌های برخوردي با نازل‌های افشار در عمليات‌جذب و واکنش‌های شيميايی دوفازی بازده قابل توجهی از خود نشان داده‌اند. اين امر را می‌توان به پديده‌های زير مرتبط دانست: ۱) جريان متقابل قطرات باعث افزایش در سرعت نسبی فازها و از اين‌رو باعث کاهش مقاومت انتقال جرم در فاز گاز می‌گردد. ۲) حرکات نوسانی قطرات باعث افزایش در زمان ماند متوسط قطرات می‌شود. ۳) شکست قطرات به قطرات کوچک ناشی از فرایند برخورد و نيروي تنشي وارد از طرف فاز گازی به قطرات در صفحه برخورد باعث افزایش سطح بين فازی و همچنين پديده تجدید سطوح می‌گردد. ۴) برخوردهای بين قطرات و تغيير شكل آنها بعلاوه نيروهای تنش سطحي باعث ايجاد يك گرداش داخلی ميان قطرات و از اين‌رو تشديد فرایند انتقال جرم می‌گردد[۸].

با عنایت به پيچيدگی الگوی حرکتی قطرات و اختلاط شدید فضای برخورد در سیستم‌های دارای جريان‌های برخوردي، پيش‌بیني ضرایب انتقال و زمان ماند قطرات در اين سیستمها از اهميت خاصی برخوردار است. با استفاده از داده‌های توزيع زمان ماند می‌توان رفتار هيدروديناميكي غيرايده‌ال يك سیستم را با آرایشي از سیستم‌های ايده‌ال نظير تانک همزده ايده‌ال يا راكتور با جريان قالبي شبیه‌سازی و از معادلات حاکم بر عملکرد اين سیستمها در قالب مدل‌های تانک‌های همزده سری و آنالیز احتمال مارکو-چین، برای مدلسازی رفتار سیستم واقعی استفاده کرد.

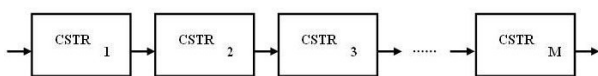
بديهی است به دليل انحراف عملکرد اين سیستمها از حالتهای مربوط به رفتار ايده‌ال، تعیین تجربی توزيع زمان ماند قطرات درون جذب‌کننده دارای جريان‌های

<sup>1</sup> RTD

دارای دو جریان برخورده محوری با مدل تانکهای همزده سری و آنالیز احتمال مارکو-چین ارائه می‌گردد.

## ۱-۲ مدلسازی ریاضی بر مبنای مدل تانکهای همزده سری

مدل تانکهای همزده سری در مدلسازی راکتورهای غیر ایده‌آل به صورت وسیعی مورد استفاده قرار می‌گیرد. جهت مدلسازی جریان‌های متلاطم در جذب‌کننده دارای جریان‌های برخورده محوری، به کارگیری مدل تانکهای همزده سری می‌تواند الگوی مناسبی در این امر باشد. در این مدل، فضای سیستم تحت بررسی با  $M$  تانک همزده سری مطابق شکل (۳) شبیه سازی می‌شود.



شکل (۳): آرایش مخازن جایگزین جذب‌کننده دارای جریان‌های برخورده با آرایش تانکهای همزده سری

### ۱-۱-۲ معادلات حاکم بر مبنای مدل تانکهای همزده سری

در ادامه معادلات حاکم بر عملکرد تانک همزده جهت جذب فیزیکی استخراج و تبیین می‌گردد.

معادله موازنۀ جرم جزئی برای جزء جذب‌شونده در فاز گاز:

$$(G.y_A)|_{in} - (G.y_A)|_{out} - \sum_{i=1}^N N_{Ai} \cdot A_{Di} \cdot \bar{t}_j = 0 \quad (1)$$

معادله موازنۀ انرژی برای فاز گاز:

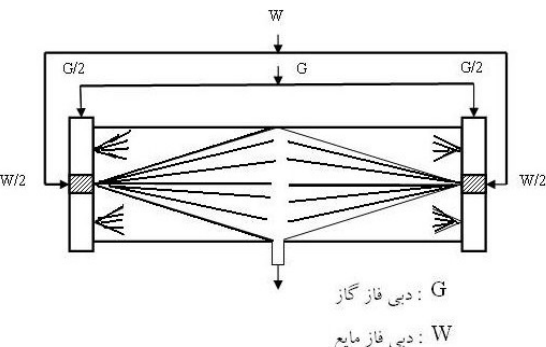
$$G_y \left( C_s(T_g - T_0) \right) |_{in} - G_y \left( C_s(T_g - T_0) \right) |_{out} - \sum_{i=1}^N h_{Di} \cdot A_{Di} \cdot \bar{t}_j (T_g - T_{Di}) |_{out} = 0 \quad (2)$$

معادله موازنۀ انرژی برای قطره مایع:

$$\dot{m}_{Di} \cdot C_{PD}(T_{Di} - T_0) |_{in} - \dot{m}_{Di} \cdot C_{PD}(T_{Di} - T_0) |_{out} + h_{Di} \cdot A_{Di} \cdot \bar{t}_j (T_g - T_{Di}) |_{out} - N_{Bi} \cdot M_B \cdot A_{Di} \cdot \bar{t}_j \lambda_0 |_{out} = 0 \quad (3)$$

معادله موازنۀ جرم برای رطوبت سیستم:

برخورد می‌کند. قطرات مایع با انجام حرکات نوسانی مکرر و برخورد با همدیگر و دیواره جذب‌کننده به تدریج انرژی جنبشی خود را از دست داده و از بخش پایینی سیستم خارج می‌شوند.



شکل (۲): شماتیک جذب‌کننده دارای دو جریان برخورده محوری

با توجه به فیزیک و ساختار جذب‌کننده مدنظر، معادلات مربوط به بقای جرم، انرژی و ممنتوم با لحاظ توزیع اندازه قطرات برای فاز مایع در قالب مدل‌های ریاضی تانکهای همزده سری و آنالیز احتمال مارکو-چین قابل تبیین است. بدین منظور فرضیات به کار رفته در مدلسازی جهت جذب فیزیکی به قرار زیر می‌باشد:

۱) جریان دو فاز در درون راکتور به صورت قالبی می‌باشد لذا توزیع پارامترهای عملیاتی نظیر دما، سرعت و غلظت صرفاً در جهت محور سیستم در نظر گرفته می‌شود.

۲) از رشد یا کاهش اندازه قطرات ناشی از برخورد قطرات به یکدیگر یا شکست قطرات اولیه صرفنظر می‌شود.

۳) خواص ترموفیزیکی گاز از قبیل دانسیتۀ، ظرفیت گرمایی، ویسکوزیته و ... تنها با تغییر دمای گاز تغییر می‌کنند.

۴) سیستم نسبت به محیط آدیاباتیک فرض می‌شود.

۵) از توزیع دمای درون قطره به دلیل کوچک بودن قطر قطرات صرفنظر می‌شود.

۶) از گرمای انحلال ناشی از جذب توسط قطرات صرفنظر می‌شود.

در ادامه معادلات حاکم بر عملکرد یک جذب‌کننده

$\bar{t}_j$  می‌بایست به کمک داده‌های تجربی توزیع زمان ماند مشخص شود، به نحوی که شرایط زیر برقرار شود:

$$\sigma_{\text{exp}}^2 = \sigma_{\text{model}}^2 \quad ; \quad \bar{t}_{\text{exp}} = \bar{t}_{\text{model}} \quad (11)$$

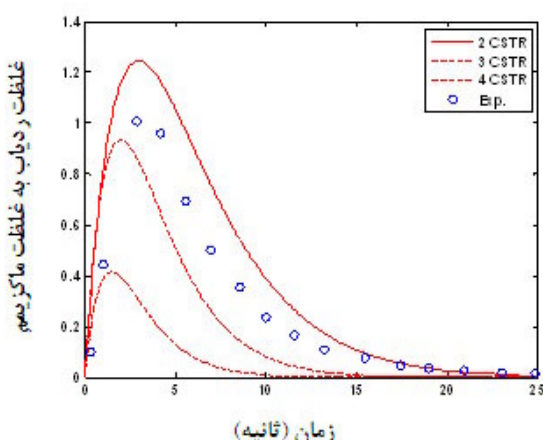
به طوریکه:

$$\sigma_{\text{exp}}^2(t) = \frac{\int_0^\infty (t - \bar{t}_{\text{exp}})^2 C dt}{\int_0^\infty C dt} \quad (12)$$

$$\bar{t}_{\text{exp}} = \frac{\int_0^\infty t C dt}{\int_0^\infty C dt} \quad (13)$$

بدین منظور داده‌های تجربی توزیع زمان ماند، جهت تعیین تعداد تانک‌های همزده سری مورد مطابقت قرار خواهد گرفت.

بدین منظور داده‌های تجربی توزیع زمان ماند، یک نمونه آزمایشگاهی که در شکل (۴) نشان داده شده است، با تعدادی تانک همزده سری مورد مطابقت قرار گرفته است. نتایج نشان می‌دهد که با توجه به شرایط عملیاتی داده‌های تجربی، واریانس توزیع زمان ماند حاصل از ۲ تا ۳ تانک همزده سری به خوبی با مقادیر تجربی به دست آمده مطابقت خواهد داشت که در نهایت ۳ تانک همزده جهت شبیه‌سازی استفاده گردیده است.



شکل (۴): مقایسه زمان ماند تجربی قطرات در جذب‌کننده دارای جریان‌های برخورده محوری [۸] با مدل تانک‌های همزده سری

$$G'_y Hu|_{\text{in}} - G'_y Hu|_{\text{out}} + \sum_{i=1}^N N_{Bi} \cdot M_B \cdot A_{Di} \cdot \bar{t}_j|_{\text{out}} = 0 \quad (4)$$

معادله موازنۀ جرم برای قطره مایع:

$$D_{Di}^3|_{\text{in}} - D_{Di}^3|_{\text{out}} - \frac{6N_{Bi} \cdot M_B \cdot \bar{t}_j}{\rho_D} D_{Di}^2|_{\text{out}} = 0 \quad (5)$$

معادله موازنۀ جرم جزئی برای جزء جذب‌شونده تجمعی در قطره مایع:

$$(m_{Di} x_A)|_{\text{out}} - (m_{Di} x_A)|_{\text{in}} - N_{Ai} \cdot A_{Di} \cdot \bar{t}_j = 0 \quad (6)$$

$A_{Di}$ ، سطح بر واحد زمان قطرات ورودی به سیستم

$$G'_y Hu \cdot A_{Di} = \frac{Q_w}{\pi} \cdot \frac{D_{Di}^2 \cdot P_i}{6} \text{ رطوبت مطلق گاز، } G'_y \text{ دبی}$$

جرمی گاز خشک،  $\bar{t}_j = M \bar{t}_j$  (زمان ماند متوسط قطرات درون هر تانک همزده و  $N_{Ai}$  شار جذب فیزیکی جزء جذب‌شونده از فاز گاز در قطره نام می‌باشد که به صورت معادله زیر قابل محاسبه است.

$$N_{Ai} = k_{yAi} (y_A - y_A^*) \quad (7)$$

در این معادله  $y_A$  کسر مولی جزء جذب‌شونده در فاز گازی و  $y_A^*$  کسر مولی بخار اشباع جزء جذب‌شونده در حال تعادل روی سطح قطره است. ، شار تبخیر از دسته قطره‌های اندازه نام است که به شکل زیر قابل محاسبه می‌باشد:

$$N_{Bi} = k_{yi} (y_B^* - y_B) \quad (8)$$

در این معادله،  $y_B^*$  کسر مولی رطوبت روی سطح قطره و  $y_B$  کسر مولی رطوبت در توده جریان گازی است.

## ۲-۱-۲ کاربرد داده‌های زمان ماند برای تعیین پارامترهای مدل تانک‌های همزده سری

در مورد  $M$  تانک همزده سری، معادله توزیع زمان ماند و همچنین واریانس تئوری،  $\sigma_{\text{model}}^2$  چنین خواهد بود [۹]:

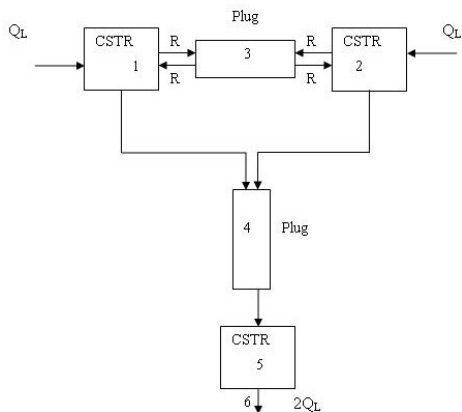
$$\bar{t}_{\text{model}} E = \left( \frac{t}{\bar{t}_{\text{model}}} \right)^{M-1} \frac{M^M}{(M-1)!} e^{-tM/\bar{t}_{\text{model}}} \quad (9)$$

$$\sigma_{\text{model}}^2(t) = \frac{\bar{t}^2}{M} \quad (10)$$

در مدل تانک‌های همزده سری دو پارامتر مهم  $M$  و

سیستم‌های ناشناخته و نامنظم ارائه نمود. تعیین توزیع زمان ماند سیستم‌های مختلف به ازاء یک تغییر ضربانی یا پله‌ای در ورودی و همچنین امکان پیش‌بینی رفتار نهایی سیستم در حالت پایا از ویژگی‌های آنالیز مارکو-چین است [۷].

در شکل (۵) آرایش مخازن بکار رفته در مدل مارکو-چین داده شده است. در این شکل با توجه به رفتار حرکتی فازها در سیستم مدنظر، نواحی مربوط به اختلاط دو جریان (۳ و ۴) در قالب ترکیب تانک‌های همزده و راکتور با جریان قالبی و بخش‌های ورودی و خروجی سیستم (۱ و ۲) به صورت تانک‌های همزده لاحظ گردیده است.



شکل (۵): آرایش انتخابی آنالیز احتمال مارکو-چین

تابع احتمال سیستم شکل (۵) در معادله (۱۷) نشان داده شده است.

## ۲-۲ مدلسازی ریاضی بر مبنای مدل آنالیز احتمال مارکو-چین

مارکو-چین یک مدل احتمال است که در مورد سیستم‌های فیزیکی پیچیده، توزیع زمان ماند خروجی به ازاء یک ورودی ضربانی یا پله‌ای ایده‌آل را پیش‌بینی می‌کند. بر اساس این تحلیل با معلوم بودن ماتریس احتمال گذر  $P$  و بردار احتمال موقعیت قبل ( $S(m)$ ) بردار احتمال موقعیت جدید پس از یک گذر (پرش) ( $S(m+1)$ ) از رابطه زیر مشخص می‌گردد [۷]:

$$S(m+1) = S(m) \cdot P \quad (14)$$

به عبارت دیگر احتمال اینکه یک سیستم پس از  $m+1$  گذر در موقعیت  $j$  قرار گیرد از رابطه زیر قابل محاسبه است:

$$s_j(m+1) = \sum_{i=1}^N s_i(m) p_{ij} \quad m = 1, 2, 3, \dots \quad (15)$$

که در آن  $s_i(m)$  عضو  $i$  بردار  $S(m)$  و  $p_{ij}$  عضو  $j$  ماتریس احتمال  $P$  می‌باشد به طوریکه:

$$\sum_{i=1}^N s_i(m) = 1 \quad ; \quad \sum_{j=1}^N p_{ij} = 1 \quad (16)$$

بنابراین با معلوم بودن تابع احتمال هر پدیده فیزیکی  $P$  و شرایط اولیه موقعیت اشغال شده سیستم به راحتی می‌توان موقعیت احتمالی آتی و یا نقطه هدف فرایند مورد نظر را پیش‌بینی نمود. با بکارگیری مدل مارکو-چین می‌توان بدون افزایش پیچیدگی حل مسائل ناشی از بکارگیری روابط و معادلات پیچیده ریاضی، راه حل ساده و در بعضی مواقع تحلیلی در خصوص

$$P = \begin{bmatrix} e^{-0.5n_v\Delta\theta} & 0 & \frac{R}{R+1}(1-e^{-0.5n_v\Delta\theta}) & \frac{1}{R+1}(1-e^{-0.5n_v\Delta\theta}) \\ 0 & e^{-0.5n_v\Delta\theta} & \frac{R}{R+1}(1-e^{-0.5n_v\Delta\theta}) & \frac{1}{R+1}(1-e^{-0.5n_v\Delta\theta}) \\ 0.5 & 0.5 & 0 & 0 \\ 0 & 0 & 0 & 0 \\ 0 & 0 & 0 & 0 \\ 0 & 0 & 0 & 0 \end{bmatrix} \quad (17)$$

چین (در اینجا ۵) است. در این ماتریس  $p_{ii}$  احتمال باقی ماندن ذره درون مخزن  $i$  پس از طی حداقل بازه زمانی  $\Delta t$  را نشان می‌دهد. بدیهی است  $1-p_{ii}$  احتمال خروج ذره از مخزن  $i$  پس از این بازه زمانی خواهد بود.

در این ماتریس  $R$  نسبت جریان برگشتی ( $r/m_s$ )،  $\Delta\theta$  نسبت حداقل زمان ماند ذرات در هر مخزن به زمان ماند متوسط ذرات درون خشککن جریان مماسی ( $\Delta t/\bar{t}$ ) و  $n_v$  تعداد مخازن بکار رفته در آنالیز مارکو-

$$\frac{dV_{Di}}{dz} = -\frac{0.75C_f \rho_a}{V_{Di} \cdot \rho_{Di} D_{Di}} |V_{Di} - V_a| (V_{Di} - V_a) \quad (25)$$

## ۲-۲ کاربرد داده‌های زمان ماند برای تعیین

### پارامترهای مدل آنالیز احتمال مارکو - چین

در مورد سیستم معرفی شده در شکل (۵)،  $s_5(m)$

پاسخ جذب‌کننده دارای دو جریان برخورداری به یک ورودی ضربانی خواهد بود به طوریکه  $m$  تعداد گذر یا بازه‌های زمانی سپری شده از لحظه شروع نمونه‌گیری است. بنابراین ترسیم نمودار ( $s_5(m)$  بر حسب  $t$ ) ( $m\Delta t$ ) به منحنی توزیع زمان ماند سیستم مورد نظر منجر خواهد شد. در این حالت:

$$E(t) = RTD = \frac{s_5(t)}{\int_0^{\infty} s_5(t) dt} \quad (26)$$

در این آنالیز مسئله اساسی تعیین پارامترهای بدون بعد مدل،  $R$  و  $\Delta\theta$  به گونه‌ای است که بهترین مطابقت با داده‌های آزمایشگاهی توزیع زمان ماند حاصل شود. برای این منظور با سعی و خطای  $R$  و  $\Delta\theta$  به نحوی تنظیم می‌شوند که شرایط رابطه (۱۱) برقرار شود. با توجه به اینکه  $t_i = i\Delta t$  و  $s_5(m) = C_{5,m} / \sum_{i=1}^m C_{5,m}$  هستند، شرایط

تطبیق تتابع مدل با داده‌های تجربی و یا تنظیم پارامترهای  $R$  و  $\Delta\theta$  به صورت زیر تبدیل می‌شود [۷]:

$$\sigma_{mod el}^2 = \sum_{i=1}^m s_5(i) [\bar{t}(i\Delta\theta - 1)]^2 \quad (27)$$

$$1 = \Delta\theta \sum_{i=1}^m i s_5(i) \quad (28)$$

در شکل (۶) منحنی گوسی شکل توزیع زمان ماند حاصل از حل مدل مارکو-چین برای جذب‌کننده دارای دو جریان برخورداری محوری ترسیم شده است. علاوه بر این در این شکل داده‌های تجربی توزیع زمان ماند موجود برای جذب‌کننده دارای دو جریان برخورداری محوری نشان داده شده است. در این تحلیل در مورد نمونه آزمایشگاهی مورد بررسی، زمان ماند متوسط بکار رفته در مدل مارکو-چین برابر  $\bar{t} = 5/91$  و  $\Delta\theta = 0.37$  در نظر گرفته شده است. نتایج آنالیز مارکو-چین نشان می‌دهد در صورتی که  $R = 0.95$  و  $\Delta\theta = 0.37$  انتخاب گردد،

همانطور که پیشتر ذکر گردید برای انجام آنالیز مارکو-چین علاوه بر تابع احتمال سیستم معلوم بودن بردار شرایط اولیه نیز ضروری است که در مورد سیستم مورد مطالعه به صورت زیر است:

$$S(0) = [0.5 \ 0.5 \ 0 \ 0 \ 0] \quad (18)$$

## ۱-۲-۲ معادلات حاکم بر مبنای مدل آنالیز

### احتمال مارکو - چین

همانطور که در شکل (۵) دیده می‌شود در مدل مارکو-چین مخازن همزده و جریان قالبی در کنار یکدیگر مورد استفاده قرار گرفته‌اند. در مورد تانک‌های همزده معادلات حاکم کاملاً مشابه با معادلاتی است که پیشتر در خصوص مدل تانک‌های همزده سری استخراج گردید. در ادامه معادلات حاکم بر عملکرد یک راکتور با جریان قالبی جهت جذب فیزیکی استخراج و تبیین می‌گردد.

معادله موازنۀ جرم جزئی برای جزء جذب‌شونده در فاز گاز:

$$\frac{dy_A}{dz} = -\sum_{i=1}^N \frac{A_{Di} \cdot N_{Ai}}{G \cdot V_{Di}} \left[ 1 + \frac{N_{Bi}}{N_{Ai}} y_A \right] \quad (19)$$

معادله موازنۀ انرژی برای فاز گاز:

$$\frac{dT_g}{dZ} = -\sum_{i=1}^N \frac{h_{Di} \cdot A_{Di}}{G_y \cdot C_s \cdot V_{Di}} (T_g - T_{Di}) \quad (20)$$

معادله موازنۀ انرژی برای قطره مایع:

$$\frac{dT_{Di}}{dz} = \frac{[h_{Di} \cdot \pi D_{Di}^2 \cdot (T_g - T_{Di}) - N_{Bi} \cdot \pi D_{Di}^2 \cdot M_B \cdot \lambda_0]}{m_{Di} \cdot C_{PD} \cdot V_{Di}} \quad (21)$$

معادله موازنۀ جرم برای رطوبت سیستم:

$$\frac{dHu}{dz} = \sum_{i=1}^N \frac{N_{Bi} \cdot M_B \cdot A_{Di}}{G_y \cdot V_{Di}} \quad (22)$$

معادله موازنۀ جرم برای قطره مایع:

$$\frac{dD_{Di}}{dz} = -\frac{2N_{Bi} \cdot M_B}{\rho_L \cdot V_{Di}} \quad (23)$$

معادله موازنۀ جرم جزئی برای جزء جذب‌شونده تجمعی در قطره مایع:

$$\frac{dx_A}{dz} = \frac{N_{Ai} \cdot \pi D_{Di}^2}{m_{Di} \cdot V_{Di}} \quad (24)$$

معادله موازنۀ مومنتوم برای قطره مایع (۲):

معادلات حاکم از روابط زیر مشخص می‌شوند  
 $(Sh_{Di} = Nu_{Di})$

$$h_{Di} = \frac{k_a}{d_{Di}} Nu_{Di} \quad (31)$$

$$k_{yi} = k_g \frac{P_t}{RT_g} = \frac{D_{AB}}{d_{Di}} \frac{P_t}{RT_g} Sh_{Di} \quad (32)$$

### سطح تماس موثر

همانطور که در معادلات استخراج شده مشاهده می‌شود حل این معادلات مشروط به تعیین زمان ماند متوسط قطرات درون هر مخزن از طریق تطبیق با داده‌های تجربی موجود است. بنابراین به نظر می‌رسد هر گونه تغییر در شرایط عملیاتی مورد بررسی منوط به وجود داده‌های تجربی در آن شرایط است که طبعاً به سبب محدودیت‌های موجود امکان‌پذیر نیست. Tamir<sup>1</sup> برای رفع این مشکل در سیستم‌های دارای جریان‌های برخورداری سطح موثر انتقال جرم و حرارت را به صورت زیر تعریف کرد [7].

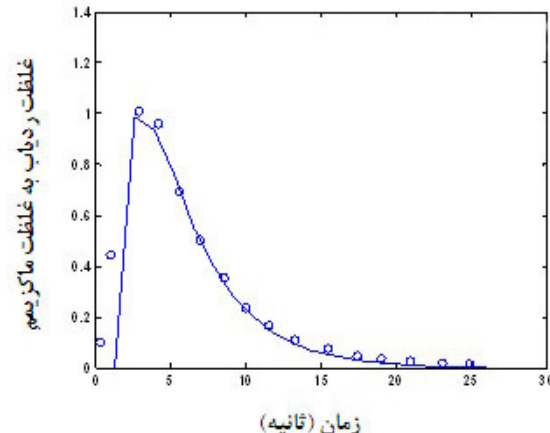
$$A_{eff,Di} = 6 \frac{V_r}{d_{Di}} \frac{W_a}{W_{Di}} \frac{\rho_a}{\rho_{Di}} \quad (33)$$

سپس بر مبنای  $A_{eff,Di}$  و شرایط مختلف عملیاتی آزمایش شده، رابطه زیر را برای  $Nu_{eff,Di}$  در سیستم مورد نظر ارائه داد:

$$Nu_{eff,Di} = 1.386 \times 10^{-8} Re_{Di}^{3.46} \quad (r = 0.983) \quad (34)$$

بنابراین در شرایط مختلف عملیاتی که داده‌های تجربی از قبیل توزیع زمان ماند، تجمع قطرات درون جذب‌کننده و در نتیجه زمان ماند متوسط قطرات درون جذب‌کننده در اختیار نیست،  $A_{eff,Di}$  جایگزین سطح واقعی انتقال جرم و حرارت ( $A_{Di} \bar{t}_j$ ) شده و بر این مبنای ضریب انتقال حرارت جابجایی موثر با استفاده از معادله برآش شده فوق و  $Nu_{eff,Di} = h_{eff,Di} D_{Di} / k_a$  محاسبه می‌شود. در معادله مربوط به  $V_r$ ,  $A_{eff,Di}$ ,  $V_g$  حجم مفید جذب‌کننده دارای جریان‌های برخورداری است.

کمترین میزان انحراف ممکن بین نتایج تئوری توزیع زمان ماند و داده‌های تجربی مربوطه مشاهده می‌شود. در ادامه از مقادیر به دست آمده برای پارامترهای  $R$  و  $\Delta\theta$  در حل معادلات حاصل از مدل مارکو-چین استفاده می‌شود.



شکل(۶) : مقایسه زمان ماند تجربی قطرات در جذب‌کننده دارای جریان‌های برخورداری محوری [۸] با زمان ماند منتج از آرایش منتخب مربوط به آنالیز مارکو-چین

با معلوم بودن پارامترهای مدل شامل نسبت جریان برگشتی ( $R = r/m_D$ ) و زمان ماند بدون بعد قطرات درون هر مخزن ( $\Delta\theta = \Delta t/\bar{t}$ ), معادلات موازنۀ جرم، انرژی و منتوم در خصوص هر یک از مخازن بکار رفته در شکل (۵) حل شده است.

## ۳-۲ تعیین پارامترهای مورد نیاز

### ضرایب انتقال جرم و حرارت

رابطه تجربی زیر برای محاسبه عدد ناسلت در مورد جریان‌های برخورداری قطره-گاز ارائه شده است [۷]:

$$Nu_{Di} = 1.96 \times 10^{-4} \left( \frac{L}{D_{Nozzle}} \right)^{-2.405} \left( \frac{V_r}{L^3} \right)^{-0.821} Re_{Di}^{1.512} \quad (29)$$

در این رابطه،  $D_{Nozzle}$  قطر نازل افشار است. عدد رینولدز هم به صورت زیر فابل بیان است:

$$Re_{Di} = \frac{|V_g - V_{Di}| D_{Di}}{v_a} \quad (30)$$

ضرایب انتقال جرم و حرارت مورد نیاز برای حل

<sup>1</sup> Tamir

<sup>2</sup> Hold-up

ناحیه برخورد و منفی بیانگر بخش سمت چپ  
جذب‌کننده با جریان‌های برخوردی می‌باشد.  
حل معادلات مربوط به آرایش راکتور با جریان قالبی  
به طور همزمان و به طریق عددی با استفاده از روش  
رانگکاتای مرتبه ۴ انجام می‌شود. معادلات حاکم بر  
عملکرد آرایش مدل تانک‌های همزده سری، نیز به  
صورت همزمان و با استفاده از روش‌های سعی و خطا  
حل انجام شده است. همچنین معادلات حاکم بر عملکرد  
آرایش آنالیز احتمال مارکو-چین، در هر راکتور با  
جریان قالبی معادلات موازنۀ جرم، حرارت و ممتومن  
مربوطه به صورت همزمان و با استفاده از روش  
رانگکاتا مرتبه چهارم حل می‌شود و برای هر تانک  
همزده ایده‌آل معادلات به صورت همزمان و با استفاده  
از روش‌های سعی و خطا حل شده است.  
شرایط اولیه عبارتند از:

$$\begin{aligned} \text{at } t=0 : \quad T_g &= 30^\circ\text{C} ; \\ T_{Dii} &= 15^\circ\text{C} ; \\ H_u &= 0 \text{ kg Moisture/kg Dry Gas} \\ x_B &= 0 \text{ (Mole of CO}_2\text{) / (Mass of Droplet)} \\ V_{Di} &= 4 \text{ m/s} \end{aligned}$$

قابل ذکر است که  $D_{Di}$  با توجه به منحنی تجمعی به  
عنوان شرط اولیه در معادلات قرار می‌گیرد.

### ۳- ارائه نتایج و تحلیل یافته‌ها

در شکل (۷) تاثیر دبی جریان‌های گاز و مایع بر  
میزان سرعت جذب گاز ترسیم شده است. نتایج مدل‌ها  
با نتایج آزمایشگاهی موجود تطبیق قابل قبولی دارد.  
قابل مشاهده است که هر دو سرعت جریان گاز و مایع  
اثر افزایشی بر سرعت جذب طبق شکل دارند. در جذب  
 $CO_2$  توسط آب مقاومت سمت مایع کنترل کننده می‌باشد و اثر سرعت جریان گاز روی سرعت جذب  
مشخصاً کمتر از اثر مقدار مایع است. افزایش دبی مایع  
در سرعت جریان ثابت گاز، سطح تبادل انتقال جرم را  
افزایش و انباستگی  $CO_2$  قطرات جذب در مایع را کاهش

### ضریب دراگ

$C_f$ ، ضریب دراگ بوده و به صورت زیر به رینولدز  
قطره مرتبط است [۷]

$$\begin{aligned} C_f &= 24 / Re_{Di} & : & Re_{Di} < 2 \\ C_f &= 18.5 / Re_{Di}^{0.6} & : & 2 < Re_{Di} < 1000 \\ C_f &= 0.44 & : & Re_{Di} > 1000 \end{aligned} \quad (۳۵)$$

### توزیع اندازه قطرات

برای هر نازل در فشار و سرعت جریان سیال  
مشخص یک توزیع اندازه واحد برای قطرات وجود دارد.  
این ویژگی معمولاً با منحنی‌های توزیع اندازه فرکانسی  
یا تجمعی برای هر شرایط عملیاتی نشان داده می‌شود.  
در این بررسی داده‌های توزیع اندازه و منحنی تجمعی  
خروجی از یک نازل اسپری غیر مخلوط‌کننده استفاده  
شده است. داده‌های توزیع اندازه برای این نازل‌ها برای  
فشار ۱ bar و سرعت جریان آب  $0.19 \text{ kg/s}$  گزارش  
شده است. توزیع فرکانسی اندازه قطرات به عنوان تابعی  
از قطر قطره به طریق زیر به دست آورده شده  
است [۱۰].

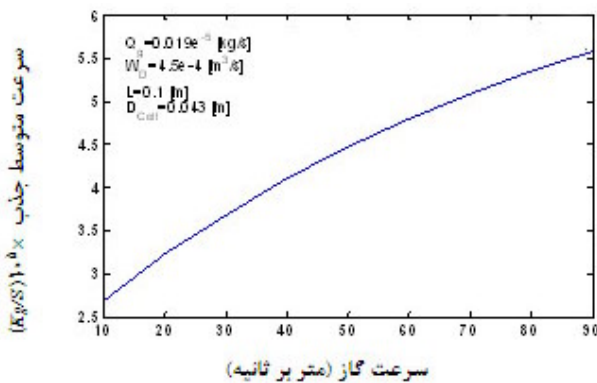
$$f(D) = \frac{0.0877 + 0.11237D - 0.000226D^2}{1 - 0.0153D + 8.765 \times 10^{-5} D^2 - 1.1 \times 10^{-7} D^3} \quad (۳۶)$$

همچنین در مورد دیگر پارامترهای ترموفیزیکی مورد  
نیاز (شامل  $k_a$ ,  $C_p$ ,  $\rho_a$ ,  $y_A^*$  و  $\lambda$ ) از روابط وابسته به  
دما ارائه شده در مراجع معتبر استفاده شده است [۱۳-۱۱].

### ۴-۲ شرایط و روش حل معادلات حاکم بر مدل‌ها و محاسبات عددی

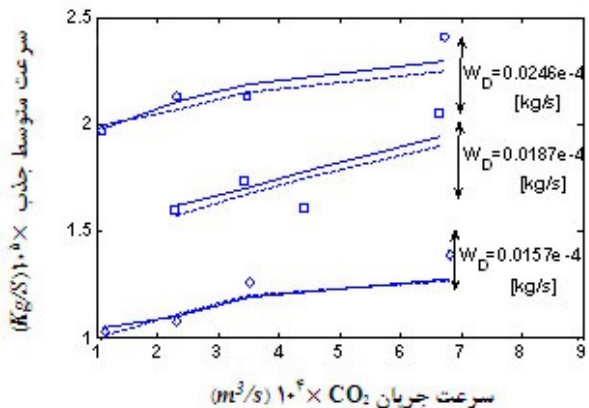
پس از تبیین معادلات حاکم برای آرایش‌های مختلف،  
به منظور حل این معادلات شرایط عملیاتی مربوط به  
جذب‌کننده حاوی  $CO_2$  خالص با نازل‌های پاششی  
غیرمخلوط‌کننده (اختلاط دو فاز بعد از خروج از نازل) با  
 قطر نازل  $m^{-3} 1.2 \times 10^{-3}$  برای فاز مایع و قطر نازل  $m^{-2}$   
۱.۵  $\times 10^{-1}$  برای فاز گاز استفاده شده است. معرف  
 $z = 0$

قطرات درون سیستم جهت یکسان بودن شرایط فرض می‌شود که تحت تاثیر سرعت گاز قرار خواهد گرفت. در این حالت با افزایش سرعت گاز میزان جزء مولی نهایی  $CO_2$  در فاز گاز کاهش و سرعت جذب آن به علت افزایش آشفتگی سیستم و ضرایب انتقال افزایش می‌یابد.

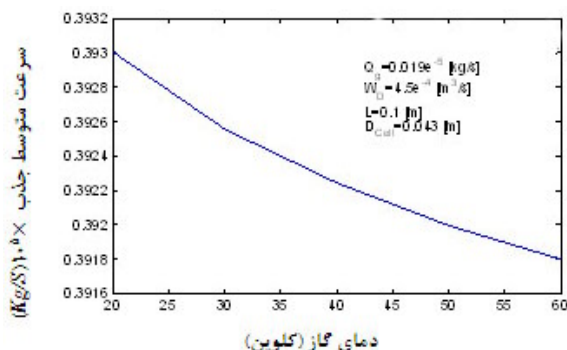


شکل (۸) : تاثیر سرعت گاز بر سرعت جذب  $CO_2$  در مدل مارکو - چین

می‌دهد و در نهایت سرعت جذب  $CO_2$  را افزایش می‌دهد. عدم تطبیق داده‌های تجربی با نتایج مدل‌ها در سرعت بالای جریان گاز را می‌توان به پدیده اتمایزیش و شکست قطرات مرتبط دانست [۵] که در مدل‌های ارائه شده منظور نگردیده است.



شکل (۷) : تاثیر سرعت جریان‌های گاز و مایع بر میزان سرعت جذب گاز و مقایسه نتایج مدل‌ها با نتایج آزمایشگاهی [۵] (مدل مارکو-چین (خطوط پیوسته)، مدل تانک‌های همرده سری (خط چین))



شکل (۹) : تاثیر دمای گاز بر سرعت جذب  $CO_2$  در مدل مارکو - چین

در شکل (۹) تاثیر دمای گاز گرم بر میزان سرعت جذب گاز  $CO_2$  ترسیم شده است. همانطور که مشاهده می‌شود افزایش دما موجب کاهش جزئی سرعت جذب فیزیکی  $CO_2$  در فاز آب می‌گردد.

در جدول (۱) تأثیر طول دستگاه جذب‌کننده بر میزان سرعت جذب  $CO_2$  در آب با دو مدل مذکور آورده و نتایج مدل با نتایج آزمایشگاهی [۵] موجود مقایسه گردیده است. مشاهده می‌شود که نتایج مدل‌ها تطابق قابل قبولی با نتایج آزمایشگاهی [۵] دارد. قابل مشاهده است که با افزایش سرعت جریان گاز ورودی به دستگاه، میزان سرعت جذب  $CO_2$  به دلیل کاهش مقاومت انتقال جرم در طرف گازی افزایش می‌یابد هر چند به دلیل حالیت کم گاز  $CO_2$  در فاز آب و واقع شدن مقاومت کنترل‌کننده انتقال جرم در فاز مایع این افزایش چشمگیر نمی‌باشد.

در شکل (۸) تاثیر سرعت گاز بر سرعت جذب  $CO_2$  برای مدل مارکو - چین ترسیم شده است. شرایط عملیاتی سیستم نیز بر روی شکل آمده است. زمان ماند

جدول (۱) : بررسی تاثیر طول دستگاه جذب‌کننده بر میزان سرعت جذب  $CO_2$  و مقایسه با نتایج آزمایشگاهی [۵]

$Q_{CO_2}$ ( $\times 10^5 \text{ m}^3 / \text{s}$ )	$W_D$ ( $\times 10^4 \text{ kg / s}$ )	$D_{cell} \times L$	سرعت جذب (کیلوگرم بر ثانیه)				خطای نسبی %	
			داده‌های تجربی	مدل تانک‌های همزده سری	مدل مارکو-چین	مدل تانک‌های همزده سری	مدل مارکو-چین	مدل مارکو-چین
۶/۷۵	۰/۰۱۹	$0/04 \times 0/04$	۱/۶۸	۱/۶۵۲۰۸	۱/۶۶۱۴۷	۱/۶۶	۱/۱۰	
۶/۷۵	۰/۰۱۹	$0/04 \times 0/08$	۱/۸۰	۱/۶۵۲۵۱	۱/۶۶۱۵۲	۸/۱۹	۷/۶۹	
۶/۷۵	۰/۰۱۹	$0/04 \times 0/15$	۱/۹۵	۱/۶۵۲۹۹	۱/۶۶۱۶۱	۱۵/۲۳	۱۴/۷۹	
۶/۷۵	۰/۰۱۹	$0/04 \times 0/20$	۱/۶۶	۱/۶۵۳۲۴	۱/۶۷۲۵۴	۰/۴۱	۰/۷۶	
۴/۵	۰/۰۱۹	$0/04 \times 0/04$	۱/۵۶	۱/۶۵۱۱۱	۱/۶۶۱۴۱	۵/۸۴	۶/۵۰	
۴/۵	۰/۰۱۹	$0/04 \times 0/08$	۱/۸۳	۱/۶۵۱۳۴	۱/۶۶۱۵۶	۹/۷۶	۹/۲۰	
۴/۵	۰/۰۱۹	$0/04 \times 0/15$	۱/۷۳	۱/۶۵۱۵۹	۱/۶۶۱۷۵	۴/۵۳	۲/۹۵	
۴/۵	۰/۰۱۹	$0/04 \times 0/20$	۱/۶۴	۱/۶۵۱۷۱	۱/۶۶۱۸۳	۰/۷۱	۱/۳۳	
۲/۳	۰/۰۱۹	$0/04 \times 0/04$	۱/۵۳	۱/۶۵۰۴۴	۱/۶۶۱۴۶	۷/۸۷	۸/۵۹	
۲/۳	۰/۰۱۹	$0/04 \times 0/08$	۱/۶۸	۱/۶۵۰۵۱	۱/۶۶۱۸۲	۱/۷۶	۱/۰۸	
۲/۳	۰/۰۱۹	$0/04 \times 0/15$	۱/۴۵	۱/۶۵۰۳۵	۱/۶۶۲۲۲	۱۳/۸۲	۱۴/۶۴	
۲/۳	۰/۰۱۹	$0/04 \times 0/20$	۱/۶۲	۱/۶۵۰۵۹	۱/۶۶۲۴۱	۱/۸۹	۲/۶۲	
ماکزیم خطای نسبی %					۳۲/۹۹	۱۵/۲۳	۱۴/۷۹	
مینیمم خطای نسبی %					۱/۱۶	۰/۴۱	۰/۷۶	
متوسط خطای نسبی %					۱۵/۳۰	۵/۹۷	۶/۰۲	

جريان‌های برخوردي می‌تواند عاملی مهم در ترغیب محققین برای دستیابی به سیستم‌هایی بهینه، راندمان بالا و اقتصادی از لحاظ مصرف انرژی باشد.

### علام اختصاری و نمادها

$m^2$	سطح کل قطرات کلاس ۱ام	$A_{Di}$
-	ضریب دراگ	$C_f$
$J / kg \cdot ^\circ C$	گرمای ویژه مخلوط گاز	$C_s$
$J / kg \cdot ^\circ C$	گرمای ویژه گاز	$C_{PB}$
$J / kg \cdot ^\circ C$	گرمای ویژه قطره	$C_{PD}$
$m$	قطر جذب‌کننده	$D_{cell}$
$m$	قطر قطره کلاس ۱ام	$D_i$
$m$	قطر اولیه قطره کلاس ۱ام	$D_{ii}$
$Kg \ mol \ gas / s$	دبی گاز	$G$
$Kg \ dry \ gas / s$	دبی گاز خشک	$G_y$
$W / m^2 \cdot ^\circ C$	ضریب انتقال حرارت قطره	$h_{Di}$

» نتایج حاصل از مدل‌ها با نتایج آزمایشگاهی گزارش شده با دقت قابل قبولی تطابق دارد که میان دقت نسبی نتایج مدل‌های پیشنهادی است.

» متوسط سرعت جذب فیزیکی  $CO_2$  تحت تاثیر افزایش سرعت گاز یا سرعت جريان گاز، سرعت جريان مایع و کاهش دمای گاز افزایش می‌يابد.

» تاثیر افزایش دبی مایع بر متوسط سرعت جذب فیزیکی  $CO_2$  به لحاظ افزایش سطح تماس از سایر پارامترهای عملیاتی بیشتر می‌باشد.

» افزایش طول دستگاه جذب کننده به دلیل در تقابل بودن دو عامل افزایش زمان ماند و کاهش شدت اختلاط (کاهش ضرایب انتقال) تاثیر ناچیزی بر متوسط شدت جذب  $CO_2$  از خود نشان می‌دهد.

نتایج مذکور و ویژگی‌های سیستم‌های دارای

جزء مولی اشباع جزء	$y_A^*$	کلاس آم
جذب شونده در سطح قطره در فاز گاز	$mol / m^2.s$	ضریب انتقال جرم در فاز گاز جهت تبخیر
کسر مولی بخار اشباع	$y_B^*$	ضریب انتقال جرم در فاز گاز جهت جذب
جزء جذب شونده در حال تعادل روی سطح قطره	$mol / m^2.s$	ضریب انتقال حرارت هدایتی
علائم اختصاری یونانی	$W / m \cdot ^\circ C$	فاصله بین دو نازل جرم قطره آم
تابع توزیع حجمی فرکانسی	$f(D)$	جرم مولکولی
چگالی هوا	$\rho_a$	شار جذب از قطره کلاس آم
چگالی مایع	$\rho_L$	شار تبخیر در قطره کلاس آم
گرادیان دما	$\Delta T$	درصد حجمی کلاس آم
ویسکوزیته گاز	$\mu_a$	قطرات
ویسکوزیته سینماتیک فاز گاز	$v_a$	فشار هوا
گرمای نهان تبخیر	$\lambda_o$	سرعت جریان گاز
واریانس	$\sigma^2$	دبی جرمی آب
اعداد بدون بعد		دبی حجمی آب
عدد پرانتل	Pr	زمان ماند متوسط
عدد رینولدز	Re	دماهی مبنا
عدد اشمت	Sc	دماهی قطره کلاس آم
عدد شروود	Sh	دماهی گاز
زیروندها		سرعت هوا
ماده جذب شونده	A	سرعت قطره آم
ماده جذب کننده	B	دبی جرمی مایع
حالات مرجع	o	جزء مولی جزء جذب
کلاس آم	i	شونده در قطره بر مبنای
حالات اولیه	ii	جرم قطره
گاز	a	جزء مولی جزء جذب
قطره مایع	D	شونده در فاز گاز
گاز	g	کسر مولی رطوبت در فاز گاز

- [10] A. Rahimi, M. Taheri, j. Fathikalajahi, (2002) "Mathematical Modeling of Heat & Mass Transfer in Hot Gas Spray System", *Chem. Eng. Comm.*, 189, pp. 959-973.
- [11] R. H. Perry and D. Green, (1984), "*Perry's chemical engineer's handbook*", 6<sup>th</sup> Ed., McGraw Hill International Edition, New York, 1984.
- [12] J. P. Holman, (1943), "*Heat transfer*", 8<sup>th</sup> Ed. Mc Graw-Hill, New York.
- [13] J. M. Smith, H. C. Van ness and Abbott, M. M. (2001), "*Introduction to chemical engineering thermodynamics*", 6th Ed., McGraw Hill.

## مراجع

- [1] I. T. Elperin, (1961) "Heat and Mass Transfer in Opposing Currents", *Journal of Engineering Physics*, 6, pp.62-68.
- [2] A. Tamir, K. Stephan, I. Elperin, (1984), Method, "Device and Apparatus for Carrying out Gas-Liquid Mass-Exchange Operations and Process Employing the Same", *Israeli Patent Application*.
- [3] D. Herskowits, V. Herskowits, A. Tamir,(1987) "Desorption of Acetone in a Two Impinging Streams Spray Desorber", *Chemical Engineering Science*, 42, 2331-2337.
- [4] A. Tamir, (1986) "Absorption of Acetone in a Two Impinging Streams Absorber", *Chemical Engineering Science*, 41, pp. 3023-3030.
- [5] A. Tamir, D. Herskowits, (1985) "Absorption of  $CO_2$  in a New Two Impinging Stream Absorber", *Chemical Engineering Science*, 40, pp. 2149-2151.
- [6] E.S. Gaddis, D. Subramanian, S. Vogelpohal, Geissen, (1990) "Biologische Abwassereinigung: Turbulenzen fur den Umweltschutz", *Chemische Industrie*, 12, pp. 18-22.
- [7] A. Tamir, (1994), Impinging-Stream Reactors: Fundamental and Applications, *Amsterdam. Elsevier*.
- [8] M. Sohrabi, A.M. Jamshidi, (1997) "Studies on the Behavior and Application of the Continuous Two Impinging Streams Reactors in Gas-Liquid Reactions", *Journal of Chemical Technology Biotechnol*, 69, pp. 415-420.
- [9] O. Levenspiel, *Chemical Reaction Engineering*, 3d ed. John Wiley and Sons, New York, (1972).

# Application of Markov-Chain analysis and tanks in series model in mathematical modeling of non-Isothermal gas absorption of CO<sub>2</sub> in a coaxial impinging streams absorber

Harandi Zadeh Amir Hossein<sup>1</sup>, Rahimi Amir<sup>2\*</sup>, Ehsani Mohammad Reza<sup>3</sup>

1. MSc in Chemical Engineering, University of Isfahan.

2. Associate Professor of Chemical Engineering, University of Isfahan.

3. Associate Professor of Chemical Engineering, Isfahan University of Technology .

## ARTICLE INFO

### Article history :

Received 20 June 2009

Received in revised form 22 Dec. 2010

Accepted 5 January 2011

## ABSTRACT

In spite of the fact that the principles of impinging stream reactors have been developed for more than half a century, the performance analysis of such devices, from a viewpoint of the mathematical modeling, has not been investigated extensively. In this study two models are proposed to describe the performance of non-isothermal gas absorption of CO<sub>2</sub> in a coaxial impinging streams absorber. The models are developed based on the Markov-chain analysis and the tanks in series model. The required parameters for each model are determined by using RTD data obtained in a coaxial impinging streams absorber and the governing equations are solved numerically. Comparison of the results of the models with available experimental data shows that the models successfully explain the behavior of a coaxial impinging streams absorber. Also, the effects of some operating parameters such as gas velocity, gas temperature and droplet size on the average rate of absorption are investigated. The results of this paper indicate that the efficiency of this system is higher than the conventional absorbers.

All rights reserved.

This document was created with Win2PDF available at <http://www.daneprairie.com>.  
The unregistered version of Win2PDF is for evaluation or non-commercial use only.